

Neanche in questo caso interviene il vincolo di rigidità del sistema.

Equilibrio di sistemi rigidi

Vediamo ora come per un sistema rigido le equazioni cardinali della statica diventino anche sufficienti a garantirne l'equilibrio.

Teorema Se il sistema di punti materiali $\{P_i, m_i\}_{i=1}^N$ è rigido ^{e i vincoli sono ideali.} allora condizione necessaria e sufficiente affinché la configurazione $\{P_i^*\}_{i=1}^N$ sia di equilibrio è che valgano le equazioni cardinali della statica.

Dim. Che la validità delle equazioni cardinali della statica sia una condizione necessaria per l'equilibrio è ovvio dal fatto che, come precedentemente dimostrato, è così per un sistema qualsiasi.

Vediamo che, sotto il vincolo di rigidità, le equazioni ^{Risultanti di forze e momenti risultanti nulli} (**) diventano anche sufficienti. Dalle equazioni cardinali della statica abbiamo:

$$\begin{cases} \underline{0} = \underline{R}^{(e)} = \underline{R}^{(a,e)} + \underline{R}^{(w)} \\ \underline{0} = \underline{M}_Q^{(e)} = \underline{M}_Q^{(a,e)} + \underline{M}_Q^{(w)} \end{cases} \quad (***)$$

Ricordiamo inoltre che il lavoro virtuale delle forze agenti su un sistema rigido si scrive:

$$\delta L = \underline{R} \cdot \delta \underline{Q} + \underline{M}_Q \cdot \delta \underline{\varepsilon},$$

essendo \underline{R} , \underline{M}_Q rispettivamente il risultante e il momento risultante rispetto ad un polo solidale $Q \in \mathbb{R}^3$ delle forze agenti e $\delta \underline{\varepsilon}$ una rotazione virtuale.

Allora se nelle (***) prendiamo Q appartenente allo spazio solidale e poi moltiplichiamo scalarmente la prima equazione per $\delta \underline{Q}$, la seconda per $\delta \underline{\varepsilon}$ e infine sommiamo deduciamo:

$$0 = \underbrace{\underline{R}^{(a,e)} \cdot \underline{\delta Q} + \underline{M}_Q^{(a,e)} \cdot \underline{\delta \varepsilon}}_{\delta L^{(a,e)}} + \underbrace{\underline{R}^{(w)} \cdot \underline{\delta Q} + \underline{M}_Q^{(w)} \cdot \underline{\delta \varepsilon}}_{\delta L^{(w)}}$$

Ossia

$$\delta L^{(a,e)} + \delta L^{(w)} = 0.$$

D'altra parte, il lavoro virtuale delle forze attive interne è nullo perché, per il terzo principio della meccanica, sono nulli sia il risultante

$$\underline{R}^{(a,i)} = \sum_{i=1}^N \sum_{j \neq i} \underline{f}_{ij}^{(a,i)} = \underline{0}$$

sia il momento risultante

$$\underline{M}_Q^{(a,i)} = \sum_{i=1}^N \sum_{j \neq i} (\underline{P}_i - \underline{Q}) \times \underline{f}_{ij}^{(a,i)} = \underline{0}.$$

Dunque: $\delta L^{(a,i)} = \underline{R}^{(a,i)} \cdot \underline{\delta Q} + \underline{M}_Q^{(a,i)} \cdot \underline{\delta \varepsilon} = 0$ e quindi possiamo ulteriormente scrivere

$$\underbrace{\delta L^{(a,e)} + \delta L^{(a,i)}}_{\delta L^{(a)}} + \delta L^{(w)} = 0.$$

Ma allora $\delta L^{(a)} + \delta L^{(w)} = 0$, cioè, essendo i vincoli ideali ($\delta L^{(w)} \geq 0$),

$$\delta L^{(a)} = -\delta L^{(w)} \leq 0.$$

Per il principio dei lavori virtuali la configurazione è quindi di equilibrio.

Statica dei sistemi olonomi

Consideriamo un sistema di punti materiali $\{(P_i, m_i)\}_{i=1}^N$ soggetto solo a vincoli olonomi:

$$\Psi_j(\underline{r}_1, \dots, \underline{r}_N, t) \geq 0, \quad j \geq 1,$$

essendo \underline{r}_i il vettore posizione $P_i - O$ dell' i -esimo punto. Individuate $n \geq 1$ opportune coordinate lagrangiane $q_1, \dots, q_n \in \mathbb{R}$, avremo pertanto

$$\underline{r}_i = \underline{r}_i(q_1, \dots, q_n, t) - \text{A differenza delle } r, \text{ le } q \text{ sono indipendenti}$$

Sappiamo allora che il lavoro virtuale δL delle forze agenti sui punti del sistema si può scrivere come

$$\delta L = \sum_{k=1}^n Q_k \delta q_k,$$

essendo

$$Q_k = \sum_{i=1}^N \underline{F}_i \cdot \frac{\partial \underline{r}_i}{\partial q_k}, \quad k=1, \dots, n$$

La k -esima forza generalizzata associata all'incremento virtuale δq_k della k -esima coordinata lagrangiana. In particolare, il lavoro virtuale delle forze attive si scriverà:

$$\delta L^{(a)} = \sum_{k=1}^n Q_k^{(a)} \delta q_k$$

con $Q_k^{(a)} := \sum_{i=1}^N \underline{F}_i^{(a)} \cdot \frac{\partial \underline{r}_i}{\partial q_k}$ essendo $\underline{F}_i^{(a)}$ il risultante delle forze attive (esterne e interne) agenti sull' i -esimo punto.

È importante osservare che poiché i vincoli sono olonomi, cioè non coinvolgono le velocità $\underline{\dot{r}}_i$, gli incrementi virtuali δq_k delle coordinate lagrangiane sono tutti indipendenti tra loro.

- Vincoli bilateri

Se i vincoli del sistema sono tutti bilateri:

$$\psi_j(\underline{z}_1, \dots, \underline{z}_N, t) = 0, \quad j \geq 1$$

allora tutti gli spostamenti virtuali $\delta \underline{P}_i$, e quindi tutti gli incrementi virtuali δq_k , sono invertibili. Di conseguenza, il principio dei lavori virtuali assume la forma

$$\delta L^{(a)} = 0 \quad \forall \delta \underline{P}_i,$$

ovvero

$$\sum_{k=1}^n Q_k^{(a)} \delta q_k = 0 \quad \forall \delta q_k$$

essendo i δq_k univocamente associati ai $\delta \underline{P}_i$ (e viceversa). Ma allora, stante l'indipendenza dei δq_k perché i vincoli sono olonomi, ciò implica

$$Q_k^{(a)} = 0 \quad \forall k=1, \dots, n.$$

Ne consegue che:

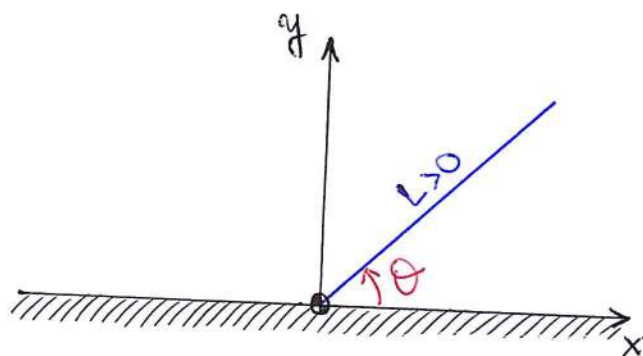
Prop. In un sistema olonomo a vincoli ideali bilateri le configurazioni di equilibrio corrispondono a tutti e soli gli insiemi di coordinate lagrangiane (q_1, \dots, q_n) che risolvono il sistema

$$\begin{cases} Q_1^{(a)}(q_1, \dots, q_n) = 0 \\ \vdots \\ Q_n^{(a)}(q_1, \dots, q_n) = 0. \end{cases}$$

• Vincoli unilateri

In presenza di alcuni vincoli unilateri vi sono configurazioni del sistema a partire dalle quali non tutti gli incrementi virtuali δq_k sono possibili, perché alcuni spostamenti virtuali sono irreversibili (ossia δP è uno spostamento virtuale ma $-\delta P$ no). Esse sono le cosiddette configurazioni di confine, a partire dalle quali una o più coordinate lagrangiane ammettono solo incrementi virtuali con un segno ben preciso determinato dal vincolo.

Esempio Riconsideriamo l'esempio dell'asta che giace nel semipiano Oxy con $y \geq 0$ ed è incernierata nell'origine.



Per descrivere le sue configurazioni è sufficiente una sola coordinata lagrangiana, ad esempio l'angolo $\theta \in [0, \pi]$ mostrato in figura.

Mentre a partire da una qualsiasi configurazione $\theta = \theta_0 \in (0, \pi)$ gli incrementi virtuali $\delta \theta$ sono tutti reversibili, in $\theta_0 = 0$ e $\theta_0 = \pi$ a causa del vincolo unilatero $y \geq 0$ imposto ai punti dell'asta gli incrementi virtuali $\delta \theta$ sono irreversibili. In particolare, per $\theta_0 = 0$ è ammesso solo $\delta \theta \geq 0$ mentre per $\theta_0 = \pi$ è ammesso solo $\delta \theta \leq 0$.

Se $\{P_i^*\}_{i=1}^N$ è una configurazione di confine è ancora possibile utilizzare il principio dei lavori virtuali per decidere se essa è di

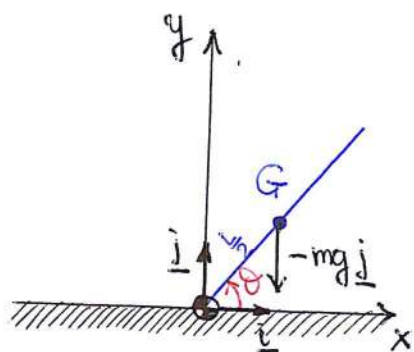
equilibrio. Ovviamente, a partire da essa si dovrà avere:

$$\delta L^{(a)} = \sum_{k=1}^n Q_k^{(a)} \delta q_k \leq 0, \quad \forall \delta q_k$$

e, richiamando nuovamente l'indipendenza dei δq_k grazie all'olonomia dei vincoli, risulterà:

$$\begin{cases} Q_k^{(a)} = 0 & \text{per tutti i } k \text{ per cui } \delta q_k \text{ è reversibile} \\ Q_k^{(a)} \leq 0 & \text{per tutti i } k \text{ per cui } \delta q_k \text{ è irreversibile e } \delta q_k \geq 0 \\ Q_k^{(a)} \geq 0 & \text{per tutti i } k \text{ per cui } \delta q_k \text{ è irreversibile e } \delta q_k \leq 0. \end{cases}$$

Esempio Supponiamo che l'asta dell'esempio precedente sia soggetta alla sola forza peso $\underline{P} = -mg \underline{j}$ (come forza attiva). Il suo punto di applicazione è il baricentro G dell'asta che, supponendo l'asta omogenea, si trova in



$$\underline{G-O} = \frac{L}{2} (\cos\theta \underline{i} + \sin\theta \underline{j}).$$

Uno spostamento virtuale $\delta \underline{G}$ del baricentro sarà pertanto dato da:

$$\delta \underline{G} = \frac{\partial(\underline{G-O})}{\partial \theta} \delta \theta = \frac{L}{2} (-\sin\theta \underline{i} + \cos\theta \underline{j}) \delta \theta$$

e quindi il lavoro virtuale delle forze attive risulta:

$$\begin{aligned} \delta L^{(a)} &= \underline{P} \cdot \delta \underline{G} = -mg \underline{j} \cdot \frac{L}{2} (-\sin\theta \underline{i} + \cos\theta \underline{j}) \delta \theta \\ &= -\frac{1}{2} mg L \cos\theta \delta \theta \end{aligned}$$

che ha la forma $\delta L^{(a)} = Q_\theta^{(a)} \delta \theta$ con

$$Q_\theta^{(a)} = -\frac{1}{2} mgL \cos \theta.$$

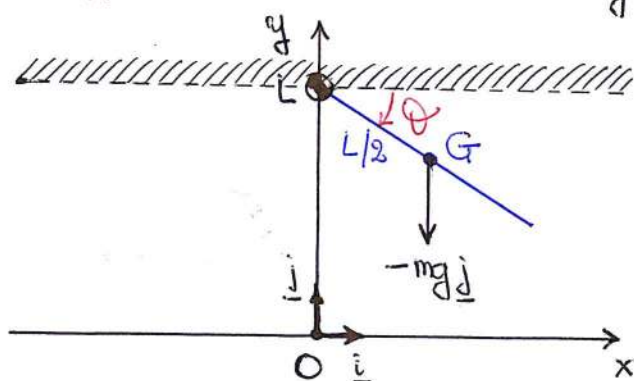
Questa è dunque la forza generalizzata associata all'incremento virtuale $\delta \theta$ della coordinata lagrangiana θ .

Notiamo che, per $\theta \in [0, \pi]$, risulta $Q_\theta^{(a)} = 0$ per $\theta = \frac{\pi}{2}$, che non è una configurazione di confine. Pertanto, per il principio dei lavori virtuali, $\theta = \pi/2$ è una configurazione di equilibrio (ordinaria) dell'asta.

Studiamo ora cosa accade nelle configurazioni di confine $\theta = 0$, $\theta = \pi$.

- In $\theta = 0$ è ammesso solo $\delta \theta \geq 0$ ^{mentre si ha} $Q_\theta^{(a)}(\theta=0) = -\frac{1}{2} mgL \leq 0$. Allora $\delta L^{(a)} = Q_\theta^{(a)} \delta \theta \leq 0$ e per il principio dei lavori virtuali $\theta = 0$ è una configurazione di equilibrio.
- In $\theta = \pi$ è ammesso solo $\delta \theta \leq 0$ e $Q_\theta^{(a)}(\theta=\pi) = \frac{1}{2} mgL \geq 0$. Allora $\delta L^{(a)} = Q_\theta^{(a)} \delta \theta \leq 0$, quindi anche $\theta = \pi$ è una configurazione di equilibrio.

Esempio Consideriamo ora un'asta ^{omogenea} di lunghezza $L > 0$ che giace nel piano Oxy ed è incernierata nel punto di coordinate $(0, L)$. Supponiamo che l'asta sia soggetta al vincolo unilatero $y \leq L$ e che su di essa agisca come unica forza attiva la forza peso $\underline{P} = -mg \underline{j}$.



Sceita quale coordinata lagrangiana l'angolo $\theta \in [0, \pi]$ in figura, abbiamo:

$$\underline{G} - \underline{O} = \frac{L}{2} \cos \theta \underline{i} + \left(L - \frac{L}{2} \sin \theta \right) \underline{j},$$

quindi il lavoro virtuale delle forze attive è:

$$\begin{aligned}\delta L^{(a)} &= -mg \underline{j} \cdot \frac{\partial(G-O)}{\partial \theta} \delta \theta \\ &= -mg \underline{j} \cdot \frac{L}{2} (-\sin \theta \underline{i} - \cos \theta \underline{j}) \delta \theta \\ &= \frac{1}{2} mg L \cos \theta \delta \theta,\end{aligned}$$

da cui ricaviamo la forza generalizzata $Q_\theta^{(a)} = \frac{1}{2} mg L \cos \theta$. Per $\theta \in [0, \pi]$ essa si annulla nel punto interno $\theta = \frac{\pi}{2}$, che rappresenta perciò una configurazione di equilibrio ordinaria. Nelle configurazioni di confine abbiamo invece:

- in $\theta = 0$, $Q_\theta^{(a)}(\theta = 0) = \frac{1}{2} mg L$ con incrementi virtuali ammissibili $\delta \theta \geq 0$, quindi $\delta L^{(a)} \geq 0$ e la configurazione non è di equilibrio;
- in $\theta = \pi$, $Q_\theta^{(a)}(\theta = \pi) = -\frac{1}{2} mg L$ con incrementi virtuali ammissibili $\delta \theta \leq 0$, quindi nuovamente $\delta L^{(a)} \geq 0$ e neppure questa configurazione di confine risulta di equilibrio.

Potenziale

Il lavoro virtuale delle forze attive agenti su un sistema di punti materiali $\{(P_i, m_i)\}_{i=1}^N$,

$$\delta L^{(a)} = \sum_{k=1}^n Q_k^{(a)} \delta q_k, \quad Q_k^{(a)} = Q_k^{(a)}(q_1, \dots, q_n)$$

è una forma differenziale nelle variabili q_1, \dots, q_n (coordinate lagrangiane).

Def. Diremo che una funzione $U = U(q_1, \dots, q_n) : \mathbb{R}^n \rightarrow \mathbb{R}$ è un potenziale per il sistema di forze attive agenti sul sistema se il lavoro vir-

tuale $\delta L^{(a)}$ è il differenziale di U rispetto alle variabili lagrangiane.

Se per il sistema di forze attive esiste un potenziale U allora dovrà risultare

$$\delta L^{(a)} = \sum_{k=1}^n \frac{\partial U}{\partial q_{1k}} \delta q_{1k},$$

da cui

$$\frac{\partial U}{\partial q_{1k}} = Q_k^{(a)}, \quad k=1, \dots, n.$$

Di qui discende immediatamente il seguente

Teorema (di stazionarietà del potenziale)

Se le forze attive di un sistema obno ^{a vincoli ideali,} ammettono un potenziale allora le configurazioni di equilibrio ordinarie coincidono con i punti di stazionarietà di U .

Dim. Le configurazioni di equilibrio ordinarie sono quelle a partire dalle quali tutti gli incrementi virtuali δq_k risultano invertibili. Si tratta dunque di configurazioni soggette a vincoli bilateri, per le quali, dal principio dei lavori virtuali, sappiamo che dev'essere:

$$Q_k^{(a)} = 0 \quad \forall k=1, \dots, n.$$

Ma allora, se c'è un potenziale U ,

$$\frac{\partial U}{\partial q_{1k}} = 0 \quad \forall k=1, \dots, n,$$

quindi in quelle configurazioni U è stazionario (localmente massimo o minimo).

□

Esempi di potenziali notevoli

In generale, il potenziale di una forza attiva si calcola dalla relazione $\partial_{q_k} U = Q_k^{(a)}$, quindi la sua espressione può dipendere dalle specifiche coordinate lagrangiane utilizzate. Inoltre U è sempre definito a meno di una costante additiva arbitraria. Un po' come dire che non esistono tanto i potenziali, quanto solo le differenze di potenziale. Scrivere il potenziale in se è solo una rappresentazione comoda.

Negli esempi seguenti considereremo un punto materiale (P, m) libero nello spazio \mathbb{R}^3 , quindi avremo in generale $P-O = x\mathbf{i} + y\mathbf{j} + z\mathbf{k}$ e le coordinate cartesiane x, y, z di P saranno le coordinate lagrangiane.

• Forza peso

Se P è soggetto all'azione della forza peso $\underline{P} = -mg\mathbf{k}$ allora:

$$\begin{aligned}\delta L^{(a)} &= \underline{P} \cdot \delta \underline{P} = -mg\mathbf{k} \cdot (\delta x\mathbf{i} + \delta y\mathbf{j} + \delta z\mathbf{k}) \\ &= -mg\delta z\end{aligned}$$

da cui

$$Q_x^{(a)} = 0 \Rightarrow \partial_x U = 0$$

$$Q_y^{(a)} = 0 \Rightarrow \partial_y U = 0$$

$$Q_z^{(a)} = -mg \Rightarrow \partial_z U = -mg$$

e quindi i potenziali di \underline{P} hanno la forma $U(x, y, z) = -mgz + C$ con $C \in \mathbb{R}$ costante.

• Forza elastica

Se P è soggetto all'azione di una forza elastica di richiamo verso un punto P_0 t.c. $P_0-O = x_0\mathbf{i} + y_0\mathbf{j} + z_0\mathbf{k}$,

$$\underline{F}_e = k(\underline{P}_0 - \underline{P}) = k[(x_0 - x)\mathbf{i} + (y_0 - y)\mathbf{j} + (z_0 - z)\mathbf{k}]$$

allora:

$$\begin{aligned}\delta L^{(a)} &= \underline{F}_e \cdot \delta \underline{P} = k [(x_0 - x) \underline{i} + (y_0 - y) \underline{j} + (z_0 - z) \underline{k}] \cdot (\delta x \underline{i} + \delta y \underline{j} + \delta z \underline{k}) \\ &= k(x_0 - x) \delta x + k(y_0 - y) \delta y + k(z_0 - z) \delta z\end{aligned}$$

e quindi

$$\begin{aligned}Q_x &= k(x_0 - x) & \Rightarrow & \partial_x U = k(x_0 - x) \\ Q_y &= k(y_0 - y) & \Rightarrow & \partial_y U = k(y_0 - y) \\ Q_z &= k(z_0 - z) & \Rightarrow & \partial_z U = k(z_0 - z).\end{aligned}$$

Allora i potenziali di \underline{F}_e hanno la forma

$$\begin{aligned}U(x, y, z) &= -\frac{1}{2} k [(x_0 - x)^2 + (y_0 - y)^2 + (z_0 - z)^2] + C \\ &= -\frac{1}{2} k |\underline{P}_0 - \underline{P}|^2 + C\end{aligned}$$

dove $C \in \mathbb{R}$ è una costante.

• Coppia su un sistema rigido piano

Consideriamo due punti materiali (P_1, m_1) , (P_2, m_2) vincolati rigidamente tra loro e vincolati a giacere nel piano Oxy . Su di essi agiscono una coppia di forze $\{(F, P_1), (-F, P_2)\}$ di momento \underline{M} (indipendente dal polo rispetto a cui è calcolato).

